

English translation of DE 198 01 615 A1

Calibration Method for Laser Light Sheet Method

The invention relates to a method for quantitatively detecting flow procedures in fluid flows, in which a medium, more specifically a gas or a liquid, as well as particles contained therein and entrained in the flow are moved in a transparent flow model and in which laser light fanned out on a plane parallel to the longitudinal axis of the flow model is transmitted through said flow model and in which scattering of the laser light by the particles is detected by a camera disposed at a right angle to the longitudinal direction of the channel and movable in the vertical and horizontal directions and can be evaluated with an evaluation unit connected downstream of the camera.

There is provided that the evaluation unit is calibrated by quantitatively comparing an image taken by the camera (10) in the flow model and having an image scale (a') to an image taken outside the flow model and having an image scale (a').

⑯ BUNDESREPUBLIK
DEUTSCHLAND



DEUTSCHES
PATENT- UND
MARKENAMT

⑯ Offenlegungsschrift
⑯ DE 198 01 615 A 1

⑯ Int. Cl. 6:
G 01 N 15/02
G 01 N 21/49
G 01 N 21/85
G 01 F 1/708
G 01 P 5/20
// G 01 J 5/00

⑯ Aktenzeichen: 198 01 615.8
⑯ Anmeldetag: 17. 1. 98
⑯ Offenlegungstag: 29. 7. 99

⑯ Anmelder:
Robert Bosch GmbH, 70469 Stuttgart, DE
⑯ Vertreter:
Gleiss & Große, Patentanwaltskanzlei, 70469 Stuttgart

⑯ Erfinder:
Arndt, Stefan, Dr., 70569 Stuttgart, DE; Reymann, Klaus, Dr., 70839 Gerlingen, DE; Huebel, Michael, Dr., 70839 Gerlingen, DE
⑯ Entgegenhaltungen:
DE 44 08 072 A1
US 54 91 642
JP 03-56826 A in Patent Abstracts of Japan, Section P, Vol. 15/No. 207 (1991) P-1207;

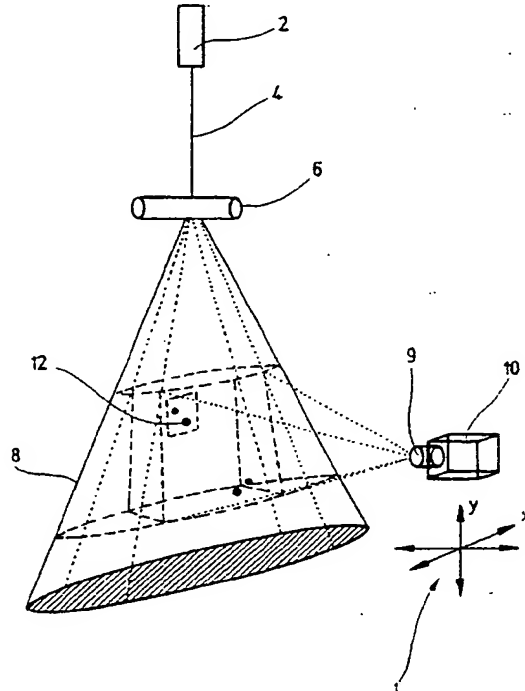
Die folgenden Angaben sind den vom Anmelder eingereichten Unterlagen entnommen

Prüfungsantrag gem. § 44 PatG ist gestellt

⑯ Kalibrierverfahren für Laserlichtschnittverfahren

⑯ Die Erfindung betrifft ein Verfahren zur quantitativen Erfassung von Strömungsvorgängen in Fluidströmungen, bei dem in einem transparenten Strömungsobjekt ein Medium, insbesondere ein Gas oder eine Flüssigkeit, sowie in diesen enthaltene und mit der Strömung mitgeführte Partikel bewegt werden, und bei dem das Strömungsobjekt mit einem auf eine Ebene parallel zur Längsrichtung des Strömungsobjektes aufgefächerten Laserlicht durchleuchtet wird; und bei dem eine Streuung des Laserlichts durch die Partikel mit einer senkrecht zur Kanallängsrichtung angeordneten und in vertikale und horizontale Richtung verschiebbaren Kamera detektiert und mit einer der Kamera nachgeschalteten Auswerteeinheit ausgewertet wird.

Es ist vorgesehen, daß eine Kalibrierung der Auswerteeinheit durch einen quantitativen Vergleich eines von der Kamera (10) im Strömungsobjekt aufgenommenen Bildes mit einem Abbildungsmaßstab (a') mit einem außerhalb des Strömungsobjektes aufgenommenen Bildes mit einem Abbildungsmaßstab (a'') erfolgt.



DE 198 01 615 A 1

Beschreibung

Die Erfindung betrifft ein Kalibrierverfahren für Laserlichtschnittverfahren mit den im Oberbegriff des Patentanspruchs 1 genannten Merkmalen.

Stand der Technik

Es ist bekannt, in der experimentellen Strömungstechnik Strömungsvorgänge mit einem sogenannten Laserlichtschnittverfahren zu visualisieren, um eine qualitative und/oder eine quantitative Analyse der Strömungsvorgänge zu ermöglichen. In einer einfachen Ausführung wird hierbei ein Laserstrahl zu einer annähernd zweidimensionalen Lichtebeine aufgefächert und damit eine Flüssigkeits- oder Gasströmung mit darin enthaltenen Partikeln durchleuchtet. Die Auffächerung auf einen Lichtschnitt von maximal wenigen Millimetern Dicke (bis zu 2 bis 3 mm), der sich somit näherungsweise als eine zweidimensionale Lichtebeine ansehen lässt, kann beispielsweise mittels einer optischen Ablenkeinheit mit rotierendem Spiegel oder mittels einer Zylinderlinse erfolgen. Von den Partikeln, die dem Strömungsmedium beigegeben sind, wird beim Passieren des Lichtschnittes Streulicht ausgesandt.

Die Partikel selbst müssen der Strömung möglichst schlupffrei folgen können und dürfen sich während der Messung nur minimal verändern. Die durch die in der Strömung mitbewegten Partikel ausgelöste Streuung des Laserlichts kann mit bloßem Betrachterauge, mittels Videotechnik, fotografisch oder anderweitig detektiert werden. Die Auswertung der optischen Brechungs- und Streuungerscheinungen kann sowohl qualitativ als auch quantitativ erfolgen. Die quantitative Auswertung basiert auf einer Beleuchtung des Strömungsfeldes in der Lichtschnittebene mit einem Dauerrstrichlaser. Prinzipiell kann dabei die Belichtungszeit t über die Leuchtdauer des Lasers eingestellt werden. Bei bekannter Belichtungszeit t und bekanntem Abbildungsmaßstab a der Kamera beziehungsweise der Optik kann über die Beziehung $v = a \cdot s/t$ die Strecke s beziehungsweise die Strömungsgeschwindigkeit v durch Analyse der Teilchenspur $a \cdot s$ auf dem Bild ermittelt werden.

Bekannt ist weiterhin ein Verfahren zur Geschwindigkeitsfeldmessung (Particle Image Velocimetry – PIV), bei dem mit einem Pulslaser Doppelbelichtungen des Strömungsfeldes vorgenommen werden. Aus dem Abstand der Punkte in zueinander gehörenden Punktpaaren und dem zeitlichen Pulsaufstand wird analog $a \cdot s$ bestimmt.

Quantitative Auswertungen der Bilder erfordern jedoch eine vorhergehende Kalibrierung des Abbildungsmaßstabes a . Die relevanten geometrischen, optischen und aufnahmetechnischen Parameter müssen entweder bekannt sein oder durch Messungen ermittelt werden. Derartige Kalibrierungen beziehungsweise Korrekturen von beeinflussenden Aufnahmeparametern sind relativ aufwendig und müssen bei jeder Veränderung jedes einzelnen Parameters neu bestimmt beziehungsweise berechnet werden.

Vorteile der Erfindung

Das erfindungsgemäße Verfahren zur Kalibrierung von Strömungsanalyseverfahren, die sich des Laserlichtschnittverfahrens bedienen, weist den Vorteil auf, daß ohne aufwendige Berechnungen oder Messungen der verwendeten Apparaturen schnelle und exakte Abstimmungen der Erfassungs- und Auswertungseinheit möglich sind. Besonders bei Bildverarbeitungssystemen mit hoher Leistungsfähigkeit ist mit dem Verfahren eine schnelle Kalibrierung mit hoher Genauigkeit möglich. Veränderungen der Abbildungseigen-

schaften, der Brennweite der Erfassungsoptik und der Lichtschnittausleuchtung können problemlos durch eine erneute Kalibrierung berücksichtigt werden. Im Gegensatz dazu sind Berechnungen der Abbildungseigenschaften wesentlich aufwendiger und können zudem Verzerrungen und apparativ bedingte Abbildungsfehler kaum berücksichtigen. Durch die unmittelbare Kalibrierung am für den Betrieb vorgesehenen Modell vor und/oder nach der eigentlichen Strömungsaufnahme sind Driftprobleme durch verschiedene Einflüsse aller Art nahezu ausgeschlossen. Kalibrierkonturen müssen dabei nicht im Strömungsfeld vorhanden sein, wodurch der Aufwand für einen Umbau der Meßapparatur des Modells entfällt. Zudem wird auf diese Weise eine etwaige Störung der Strömungsgeometrie weitgehend vermieden. Die mit der Kalibrierung ermittelten Meßdaten stehen in der Bildverarbeitung unmittelbar für Umrechnungen der Strömungsbilder zur Verfügung.

Weitere vorstehende Ausgestaltungen der Erfindung ergeben sich aus den übrigen, in den Unteransprüchen genannten, Merkmalen.

Zeichnungen

Die Erfindung wird nachfolgend in einem Ausführungsbeispiel anhand der zugehörigen Zeichnungen näher erläutert. Es zeigen:

Fig. 1 eine perspektivische Ansicht des prinzipiellen Aufbaus eines Laserlichtschnittverfahrens;

Fig. 2a ein Ausschnitt einer Strömung in einem Lichtschnitt;

Fig. 2b ein Doppelbild des Ausschnitts aus **Fig. 2a** mit verschobener Kamera;

Fig. 3 eine schematische Darstellung einer Verschiebung der Kamera um Δx ;

Fig. 4a schematische Darstellung einer dreidimensionalen Erfassung des Laserlichtschnittes;

Fig. 4b erfaßte Strömungsbilder in mehreren übereinanderliegenden Ebenen des Laserlichtschnittes und

Fig. 4c ein Diagramm, das den Zusammenhang der Ausdehnung von mehreren Partikeln in den verschiedenen Ebenen des Laserlichtschnittes zeigt.

Beschreibung des Ausführungsbeispiels

Fig. 1 zeigt in einer perspektivischen Ansicht einen prinzipiellen Aufbau eines Laserlichtschnittverfahrens zur quantitativen Strömungsanalyse. Hierzu wird in einem transparenten Strömungsobjekt, beispielsweise einem Strömungskanal, eine Gas- oder Flüssigkeitsströmung betrachtet, in der zur Visualisierung der Strömungsvorgänge feine Feststoffpartikel enthalten sind. Bei Gasströmungen eignen sich statt dessen auch feine Nebeltröpfchen, die der Strömung als sogenannte Tracerpartikel beigegeben sein können. Das zu untersuchende Strömungsfeld mit in der Gas- oder Flüssigkeitsströmung mitgeführten Partikeln beziehungsweise Tröpfchen ist zur besseren Übersichtlichkeit nur durch einige beispielhaft eingezeichnete Partikel 12 ange deutet. Zur Verdeutlichung der räumlichen Ausrichtung der gesamten Meßanordnung sowie der möglichen Schwenkbeziehungsweise Verschieberichtungen einer Detektoreinrichtung, beispielsweise einer Kamera, ist ein x-y-z-Koordinatensystem 1 eingezeichnet.

Eine Laserlichtquelle 2 erzeugt einen Laserlichtstrahl 4, der in der gezeigten Ausführungsform senkrecht nach unten, entsprechend dem eingezeichneten Koordinatenkreuz 1 in negative y-Richtung, verläuft. Der Laserlichtstrahl 4 wird mittels einer im Strahlengang befindlichen Zylinderlinse 6 in einer zweidimensionalen x-y-Lichtebeine, der sogenann-

ten Lichtschnittebene 8, aufgefächert. Eine endliche Dicke, das heißt eine geringe Ausdehnung der Lichtschnittebene 8 in z-Richtung, soll hier zunächst vernachlässigt werden. In der Gas- oder Flüssigkeitsströmung werden Partikel 12 mitgeführt, die das Laserlicht der Lichtschnittebene 8 streuen und so eine Visualisierung von Strömungsvorgängen ermöglichen. In der gezeigten Ausführungsform werden die Streuungsvorgänge mittels einer Kamera 10 detektiert, welche die aufgenommenen Bilder an eine nachgeschaltete, hier nicht dargestellte, Auswerteeinheit beziehungsweise an einen Bildverarbeitungsrechner liefert. Als Erfassungseinrichtung kommt eine analog, vorzugsweise aber eine digital, arbeitende Kamera mit einer hohen Bildfolgerate in Frage, die für eine exakte Auswertung sorgt sowie die für eine exakte Kalibrierung erforderlichen Signale liefern kann.

Die Kamera 10 ist auf einer, hier ebenfalls nicht dargestellten, Verstellvorrichtung montiert, die von einer geeigneten Ansturzvorrichtung gesteuert wird und Translationsbewegungen der Kamera 10 um definierte Wege in horizontale (x-) und vertikale (y-) Richtung erlaubt. Bei sehr kleinen Wegen können diese x-y-Verschiebungen auch durch ein Verschwenken der Kamera 10 angenähert werden, was jedoch zusätzlich die Beobachtungsrichtung geringfügig verändert. Aus diesem Grund sollte grundsätzlich keine Verschwenkung der Kamera 10, sondern es sollten nur Translationsbewegungen erfolgen. Zusätzlich ist eine Verschiebung in z-Richtung, das heißt senkrecht zur Lichtschnittebene 8, möglich.

Damit die Lichtschnittebene 8 im Strömungsfeld scharf abgebildet wird, wird ein Objektiv 9 der Kamera 10 auf den Abstand zu dieser Ebene fokussiert. Liegen nun im Strahlengang des Streulichts zwischen dem Strömungskanal und der Kamera 10 hier nicht näher dargestellte optisch verzerrnde Elemente, müssen für die Gewinnung zuverlässiger quantitativer Meßdaten deren Einflüsse auf den Abbildungsmaßstab bekannt sein und korrigiert werden. Derartige Verzerrungen können beispielsweise durch Krümmungen oder andere Brechungseffekte des transparenten Strömungsmodells beziehungsweise -objektes hervorgerufen werden.

Die Fig. 2a und 2b zeigen zwei durch eine Translationsbewegung der Kamera 10 sichtbar gemachte unterschiedliche Abbildungsmaßstäbe a' innerhalb beziehungsweise a'' außerhalb des optisch verzerrenden Strömungsobjektes. Um die Einflüsse der Eigenbewegung oder Partikel zu minimieren, muß die Verschiebung beziehungsweise Translationsbewegung der Kamera 10 sehr schnell erfolgen. Gleiche Teile wie in der Fig. 1 sind mit gleichen Bezugszeichen versehen und nicht nochmals erläutert.

Fig. 2a zeigt in einem beispielhaften Kameraausschnitt eine Abbildung mehrerer in der Strömung mitgeführter Partikel 12, die sich in einem Bereich mit optischer Verzerrung 16, beispielsweise im transparenten Strömungsobjekt beziehungsweise Strömungskanal, befinden. Im gleichen Ausschnitt sind weitere Partikel 13 als Vergleichsgegenstände dargestellt, die sich in einem Bereich befinden, der nicht verzerrt abgebildet wird, beispielsweise in Luft. Der Abbildungsmaßstab für die unverzerrt abgebildeten Partikel 13 wird im folgenden mit a^0 bezeichnet, der Abbildungsmaßstab für die im Strömungsobjekt verzerrt abgebildeten Partikel 12 in der Laserlichtschnittebene mit a' .

Fig. 2b zeigt einen Kameraausschnitt mit einer Doppel-Darstellung der abgebildeten Partikel 12, 12', 13, 13' beziehungsweise Gegenstände aus Fig. 2a. Durch die Doppel-Darstellung ist eine definierte Translationsbewegung der Kamera 10 in x- und/oder in y-Richtung angegeben, die es ermöglicht, die Abstände der Gegenstände innerhalb und außerhalb der Lichtschnittebene 8 zu vergleichen und so zu einer Kalibrierung des Abbildungsmaßstabes zu gelangen.

In der Fig. 2b sind die gleichen Partikel 12, 13 abgebildet wie in Fig. 2a. Eine schnelle Translationsbewegung der Kamera 10 in negative y-Richtung und positive x-Richtung des Lichtschnittes 8 wird durch eine Abbildung der Partikel 12' im Bereich mit optischer Verzerrung 16 mit dem Abbildungsmaßstab a' und durch eine Abbildung der Partikel 13' im Bereich ohne optische Verzerrung mit dem Abbildungsmaßstab a'' verdeutlicht. Die gleichen Partikel 12, 12' im Bereich mit optischer Verzerrung 16 erscheinen in den beiden Kameraperspektiven vor und nach der Translationsbewegung in einem Abstand von $a' \cdot \Delta y$ in y-Richtung beziehungsweise $a'' \cdot \Delta y$ in y-Richtung zueinander. Die gleichen Partikel 13, 13' im Bereich ohne optische Verzerrung erscheinen in den beiden Kameraperspektiven vor und nach der Translationsbewegung in einem Abstand von $a'' \cdot \Delta x$ in x-Richtung beziehungsweise $a' \cdot \Delta x$ in x-Richtung beziehungsweise $a'' \cdot \Delta x$ in x-Richtung zueinander. Da die Abbildungsmaßstäbe a'' im Bereich ohne Verzerrung, beispielsweise in Luft, und a' im Bereich mit optischer Verzerrung 16 voneinander differieren, lassen sich die Unterschiede aufgrund der optischen Verzerrung im Bereich 16 auswerten und die optische Verzerrung somit in der nachgeschalteten Auswerteeinheit rechnerisch korrigieren, damit die Messungen zu einwandfreien quantitativen Ergebnissen führen.

Die Fig. 3a und 3b verdeutlichen in Schemadarstellungen jeweils eine definierte Verschiebung der Kamera 10, verdeutlicht durch eine optische Achse 20 der Kamera 10, um einen bestimmten Weg Δx in x-Richtung. Gleiche Teile wie in den vorangegangenen Figuren sind mit gleichen Bezugszeichen versehen und nicht nochmals erläutert. Die notwendigen Einstellungen des Objektives 9 der Kamera 10 werden zunächst am Meßobjekt, das heißt am Strömungsobjekt beziehungsweise -kanal, vorgenommen. Hierzu wird die Fokussierung des Objektives 9, beziehungsweise die Brennweite bei Verwendung eines Zoomobjektives, so lange verändert, bis ein anvisiertes Objekt scharf abgebildet wird. Diese Werte werden für die Referenzmessung beibehalten. Die Scharfstellung auf das Kalibrierobjekt erfolgt dann lediglich durch Veränderung des Abstandes Δz der Kamera 10 vom anvisierten Objekt.

Fig. 3a zeigt die Verschiebung der Kamera 10 um Δx im Abbildungsmaßstab a^0 , das heißt ohne optisch verzerrende Einflüsse zwischen der Bildebene und der Kamera 10, von der zur besseren Übersichtlichkeit nur ihre optische Achse 20 eingezeichnet ist. Mit einer festen Objektiveinstellung, das heißt einer festen Fokussierung des Objektives 9 beziehungsweise einer festen Brennweite bei Verwendung eines Zoomobjektives, der Kamera 10 wird zunächst ein Gegenstand beziehungsweise ein Partikel 13 außerhalb des Strömungsmodells anvisiert und der Abstand Δz der Kamera 10 zu diesem Partikel 13 so variiert, daß dieses in einer Bildebene 26 der Kamera 10 scharf abgebildet wird. Zur besseren Verdeutlichung des optischen Strahlenganges ist zudem eine Brennebene 24 zwischen Objektiv 9 und Bildebene 26 eingezeichnet. Die Fokussierung am Objektiv 9 wird dabei nicht verändert. Wird die Kamera anschließend definiert in x- und/oder in y-Richtung bewegt, wandert der Gegenstand entsprechend um die Strecke $a^0 \cdot \Delta x$ beziehungsweise $a^0 \cdot \Delta y$ in der Bildebene. In der gezeigten Darstellung ist die Kamera 10 beispielhaft um den Weg Δx verschoben, wodurch sich ebenfalls ihre optische Achse 20 um den gleichen Weg verschiebt, hier als verschobene optische Achse 20' verdeutlicht. Die Abbildung des Partikels 13 in der Bildebene 26 verschiebt sich dementsprechend um einen definierten Weg $b^0 = a^0 \cdot \Delta x$, in dem der Abbildungsmaßstab a^0 den zur Kalibrierung notwendigen Faktor darstellt. Die Kamera wird anschließend wieder auf die Lichtschnittebene 8 im Strömungskanal gerichtet, was im folgenden zur Fig. 3b beschrieben wird.

Fig. 3b zeigt ebenfalls eine Verschiebung der Kamera 10 um Δx . Zwischen der Lichtschnittebene 8 und dem Objektiv 9 der Kamera 10 befindet sich hier jedoch eine optische Verzerrung 22, beispielsweise in Form einer gekrümmten Oberfläche des transparenten Strömungsobjektes. Der hier auftretende Abbildungsmaßstab ist mit a' bezeichnet. Da die Fokussierung gegenüber der Erfassung des Partikels 13 im optisch unverzerrten Bereich nicht geändert wurde, ist auch die Lichtschnittebene 8 mit einem dahin schwebenden Partikel 12 scharf abgebildet. Bei nicht eingeschalteter Strömung schweben die Partikel 12 in der vom Laserlicht beleuchteten Lichtschnittebene 8, und es wird ein unregelmäßiges Punktebild des beleuchteten und mit Fluid gefüllten Strömungsfeldes abgebildet. Wird nun die Kamera 10 wiederum definiert in x- und/oder in y-Richtung bewegt, ergibt sich entsprechend zu den Messungen in Luft ein verschobenes Bild der Punktstruktur. In diesem Fall ergeben sich jedoch entsprechend der lokalen optischen Verzerrungen unterschiedliche Bildabstände b' der jeweiligen Punktpaare.

Die optischen Verzerrungen lassen sich dabei als lokale Abweichungen vom Abbildungsmaßstab a° interpretieren mit der Maßstabsmatrix a' . Durch Vergleich mit dem Bild in Luft erhält man die lokalen Abbildungsmaßstäbe $a' = b' \cdot a^\circ / b^\circ$. Zur Vermeidung von Fehlern aufgrund einer vorhandenen geringen Eigenbewegung der nur scheinbar ruhenden Partikel zwischen den beiden Aufnahmen muß die Translationsbewegung der Kamera sehr schnell erfolgen. Die Bewegung muß dabei sehr viel schneller als die Eigenbewegung der Partikel 12, 13 sein. Sind im Blickfeld Bereiche ohne Verzerrungen mit einem Abbildungsmaßstab a° vorhanden oder liegen geometrisch bekannte Konturen im Lichtfeld vor, kann auf die anfängliche Messung in Luft verzichtet werden.

Die **Fig. 4a** bis **4c** zeigen eine erweiterte Meßmöglichkeit zur Erfassung und Auswertung einer räumlichen Ausdehnung des Laserlichtschnittes 8 durch eine zusätzliche Berücksichtigung der geringfügigen Ausdehnung in z-Richtung. Ein solcher Lichtschnitt besitzt aufgrund der Intensitätsverteilung im Laserstrahl und aufgrund der Erzeugung über Zylinderlinsen üblicherweise eine gaußförmige Intensitätsstruktur in z-Richtung und eine elliptische Außenkontur bei Schnitt in der x-z-Ebene. Die räumliche Ausdehnung des Lichtschnittes läßt sich im Strömungsfeld bestimmen. Die Kamera wird bei festgehaltener Fokussierung einer Einstellung und geringer Tiefenschärfe (mit offener Blende) definiert in z-Richtung verschoben. Hierdurch wird eine Bildfolge des annähernd ruhenden Strömungsfeldes erhalten, wobei wiederum die Verschiebegeschwindigkeit der Kamera in z-Richtung deutlich größer sein muß als die Eigenbewegung der Partikel im Fluid. Der Verschiebereich ist so zu wählen, daß die Endstellungen der Fokussierungen in beide z-Richtungen jeweils vollständig außerhalb der Tiefeausdehnung des Lichtschnittes liegen. Da die Partikel während der schnellen Bildfolge nahezu ruhen, also ihren Standort annähernd beibehalten, entsteht auf jedem Bild das gleiche Muster der abgebildeten Partikel, wobei jeweils die flächenmäßige Ausdehnung, das heißt der abgebildete Partikeldurchmesser und die Intensität beziehungsweise die Schwärze eines abgebildeten Partikels mit dem Grad der Fokussierung variiert. Zudem läßt sich aus der Auswertung sämtlicher erfaßter Partikel im Meßfeld sowie der räumlichen Zuordnung zu verschiedenen Ebenen mit Hilfe der Auswerteeinheit ein Abbild der räumlichen Struktur des Lichtschnittes, das heißt eine Verteilungsmatrix, bilden.

Fig. 4a zeigt in einer schematischen Darstellung eines Schnittes durch die dünne x-z-Ebene des Laserlichtschnittes 8 eine Möglichkeit, die räumliche Verteilung der Partikel im Lichtschnitt zu erfassen. Die Kamera 10 ist hier beispielhaft

auf fünf verschiedene, voneinander gleichweit entfernte, Ebenen in z-Richtung fokussiert, die hier mit E1 bis E5 bezeichnet sind. Verschiedene Partikel, hier als P1, P2, P3, etc. bezeichnet, werden in jeder Einstellung der Kamera an selber Stelle in der Bildebene 26 abgebildet.

Fig. 4b zeigt diesen Zusammenhang in fünf Einzelbildern der Kamera der fünf Ebenen E1 bis E5 je Bildfolge. Wird ein Partikel scharf abgebildet, ist seine Ausdehnung (Durchmesser) auf der Aufnahme minimal und die Intensität (Schwärzung) maximal. Jedes Partikel im Strömungsfeld wird somit auf wenigstens einem Bild einer Bildfolge scharf und mit minimaler Bildfläche abgebildet. Das Bild der Ebene, auf dem ein bestimmtes Partikel mit minimaler Ausdehnung und größter Schwärzung abgebildet ist, stellt somit diejenige Ebene E1 bis E5 in definierter Abstand zur Kamera 10 dar, in welcher sich das Partikel befindet.

Fig. 4c zeigt in einem Diagramm den Zusammenhang der Bildfläche bei nacheinander folgenden Bildern einer Bildfolge für mehrere beispielhafte Partikel P1, P2 und P3. Auf der horizontalen Achse sind die unterschiedlichen Abstände der Fokussierungsebene der Kamera 10 in z-Richtung aufgetragen, was den unterschiedlichen Ebenen E1 bis E5 entspricht. Die vertikale Achse des Diagrammes zeigt die unterschiedlichen abgebildeten Durchmesser der Partikel. Hierbei ist erkennbar, daß die Bildfläche für jedes Partikel bei wenigstens einem Bild ein Minimum ($P1_{\min}, P2_{\min}, P3_{\min}$) erreicht. Liegen die Durchmesser zweier Partikel beziehungsweise deren Schwärzungen in zwei aufeinanderfolgenden Bildern auf gleichem Niveau, so liegt dieses Partikel genau zwischen den Fokussierungsabständen dieser beiden Bilder.

Patentansprüche

1. Verfahren zur quantitativen Erfassung von Strömungsvorgängen in Fluidströmungen, bei dem in einem transparenten Strömungsobjekt ein Medium, insbesondere ein Gas oder eine Flüssigkeit, sowie in diesen enthaltene und mit der Strömung mitgeföhrte Partikel bewegt werden, und bei dem das Strömungsobjekt mit einem auf eine Ebene parallel zur Längsrichtung des Strömungsobjektes aufgefächerten Laserlicht durchleuchtet wird, und bei dem eine Streuung des Laserlichts durch die Partikel mit einer senkrecht zur Kanallängsrichtung angeordneten und in vertikale und horizontale Richtung verschiebbaren Kamera detektiert und mit einer der Kamera nachgeschalteten Auswerteeinheit ausgewertet wird, dadurch gekennzeichnet, daß eine Kalibrierung der Auswerteeinheit durch einen quantitativen Vergleich eines von der Kamera (10) im Strömungsobjekt aufgenommenen Bildes mit einem Abbildungsmaßstab (a') mit einem außerhalb des Strömungsobjektes aufgenommenen Bildes mit einem Abbildungsmaßstab (a°) erfolgt.

2. Verfahren nach Anspruch 1, dadurch gekennzeichnet, daß von der Kamera (10) ein bestimmtes Partikel (13) außerhalb des Strömungsobjektes aufgenommen wird, und daß die Kamera (10) anschließend mit hoher Translationsgeschwindigkeit um einen definierten Abstand in horizontale und/oder in vertikale Richtung verschoben wird und daß die Abstände in horizontale (Δx) und/oder in vertikale Richtung (Δy) der beiden dadurch entstehenden Abbildungen der Partikel (13, 13') aufgenommen und von der Auswerteeinheit quantitativ ausgewertet und daß daraus ein Abbildungsmaßstab (a°) bestimmt wird.

3. Verfahren nach Anspruch 2, dadurch gekennzeichnet, daß von der Kamera (10) ein bestimmtes Partikel

(12) im Strömungsobjekt aufgenommen wird, und daß die Kamera (10) anschließend mit hoher Translationsgeschwindigkeit um einen definierten Abstand in horizontale und/oder in vertikale Richtung verschoben wird und daß die Abstände in horizontale (Δx) und/ oder in vertikale Richtung (Δy) der beiden dadurch entstehenden Abbildungen der Partikel (12, 12') aufgenommen und von der Auswerteeinheit quantitativ ausgewertet und daß daraus ein Abbildungsmaßstab (a') bestimmt wird.

4. Verfahren nach Anspruch 3, dadurch gekennzeichnet, daß die aus den Aufnahmen der Kamera (10) erhaltenen Abbildungsmaßstäbe (a' , a'') verglichen werden und daß daraus eine quantitative Korrektur von Abbildungsverzerrungen errechnet wird.

5. Verfahren nach einem der vorhergehenden Ansprüche, dadurch gekennzeichnet, daß dreidimensionale Strömungsvorgänge durch eine Analyse von Partikelbewegungen in einer geringen Dickenausdehnung des beleuchteten Teiles des Strömungsobjektes auswertbar sind.

6. Verfahren nach Anspruch 5, dadurch gekennzeichnet, daß die Kamera (10) zur quantitativen Auswertung dreidimensionaler Strömungsvorgänge zusätzlich in z-Richtung bewegbar ist.

7. Verfahren nach Anspruch 6, dadurch gekennzeichnet, daß das Objektiv der Kamera (10) auf verschiedenen von der Kamera (10) beabstandete Ebenen fokussierbar ist.

8. Verfahren nach Anspruch 7, dadurch gekennzeichnet, daß der Abstand einzelner Partikel zur Kamera (10) durch eine Analyse des abgebildeten Partikel-durchmessers und/oder der Schwärzungintensität des Partikels bestimmbar ist.

9. Verfahren nach Anspruch 8, dadurch gekennzeichnet, daß für jedes abgebildete Partikel wenigstens eine Abbildung mit minimalem Durchmesser und maximaler Schwärzung existiert, wobei diese Fokussierung der Kamera (10) als Abstand des Partikels zur Kamera (10) auswertbar ist.

10. Verfahren nach Anspruch 9, dadurch gekennzeichnet, daß in der Auswerteeinheit durch Auswertung aller erfaßten Partikel eine räumliche Verteilungsmatrix des beleuchteten Teils des Strömungsobjektes berechenbar ist.

11. Verfahren nach einem der vorhergehenden Ansprüche, dadurch gekennzeichnet, daß das Strömungsobjekt ein transparenter Strömungskanal ist.

Hierzu 5 Seite(n) Zeichnungen

50

55

60

65

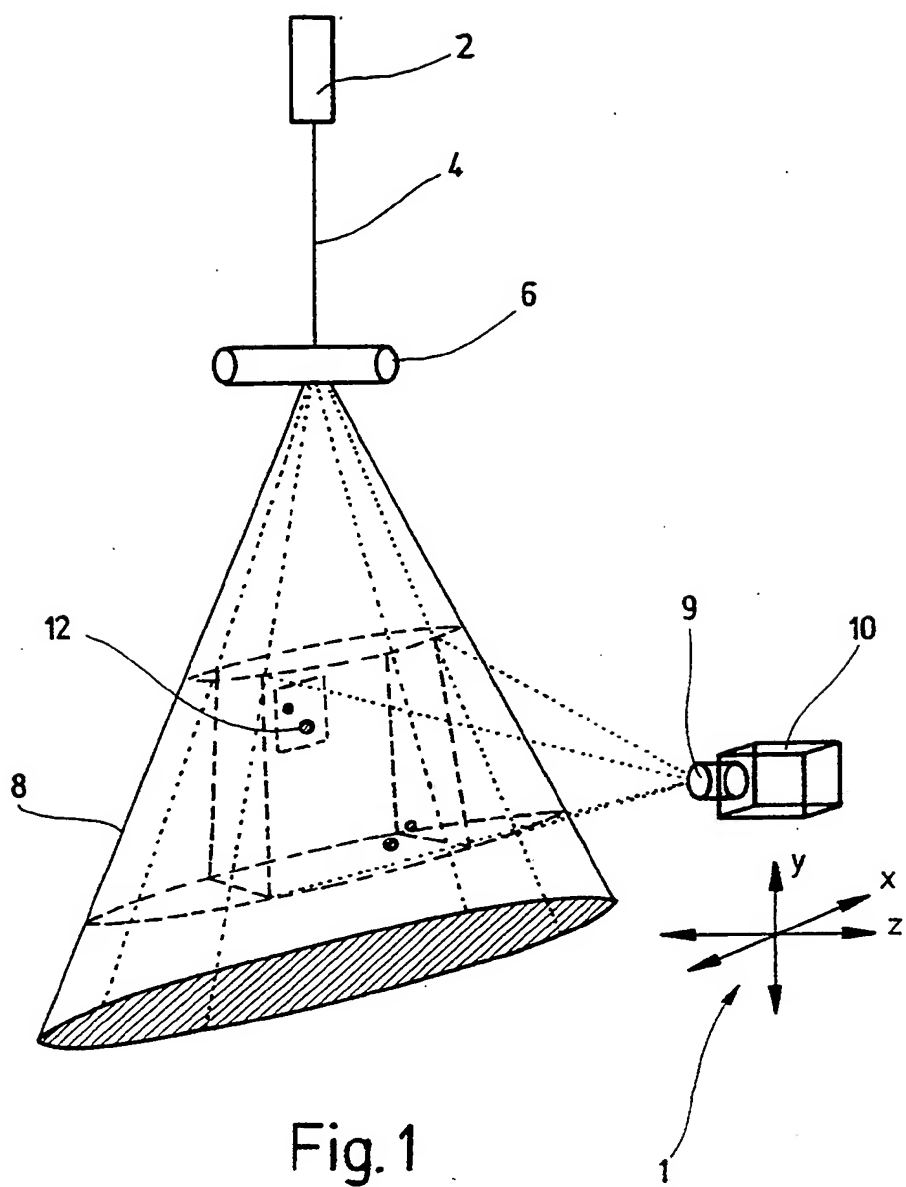


Fig. 1

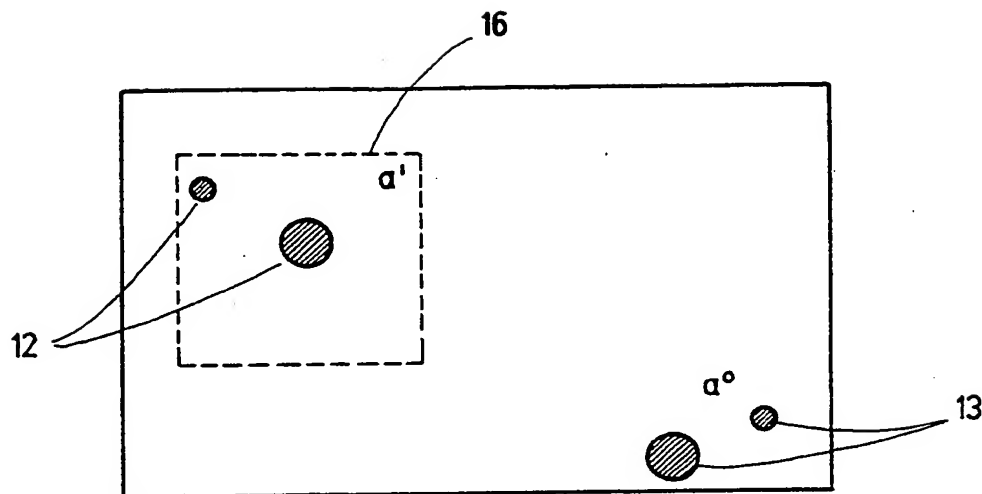


Fig. 2a

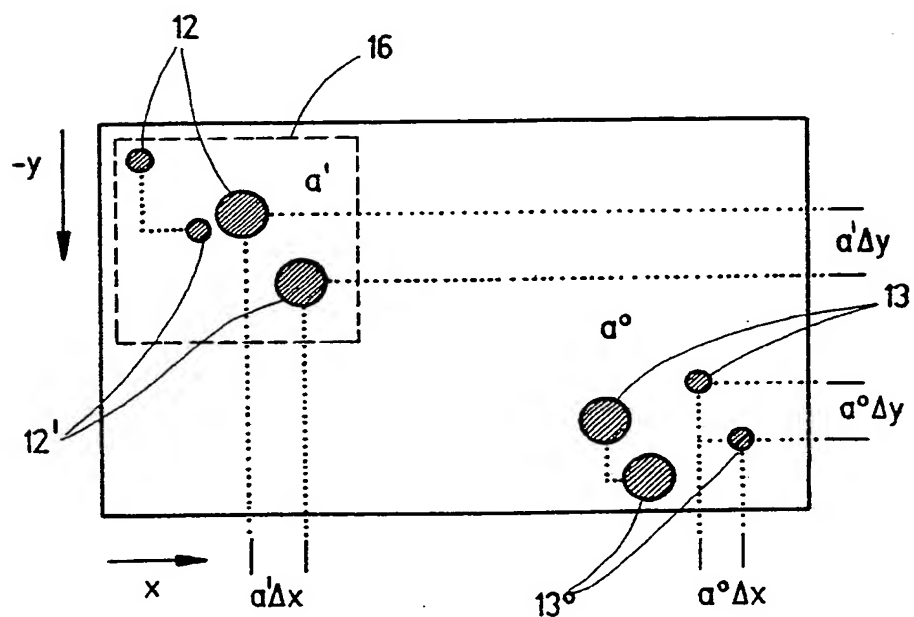


Fig. 2b

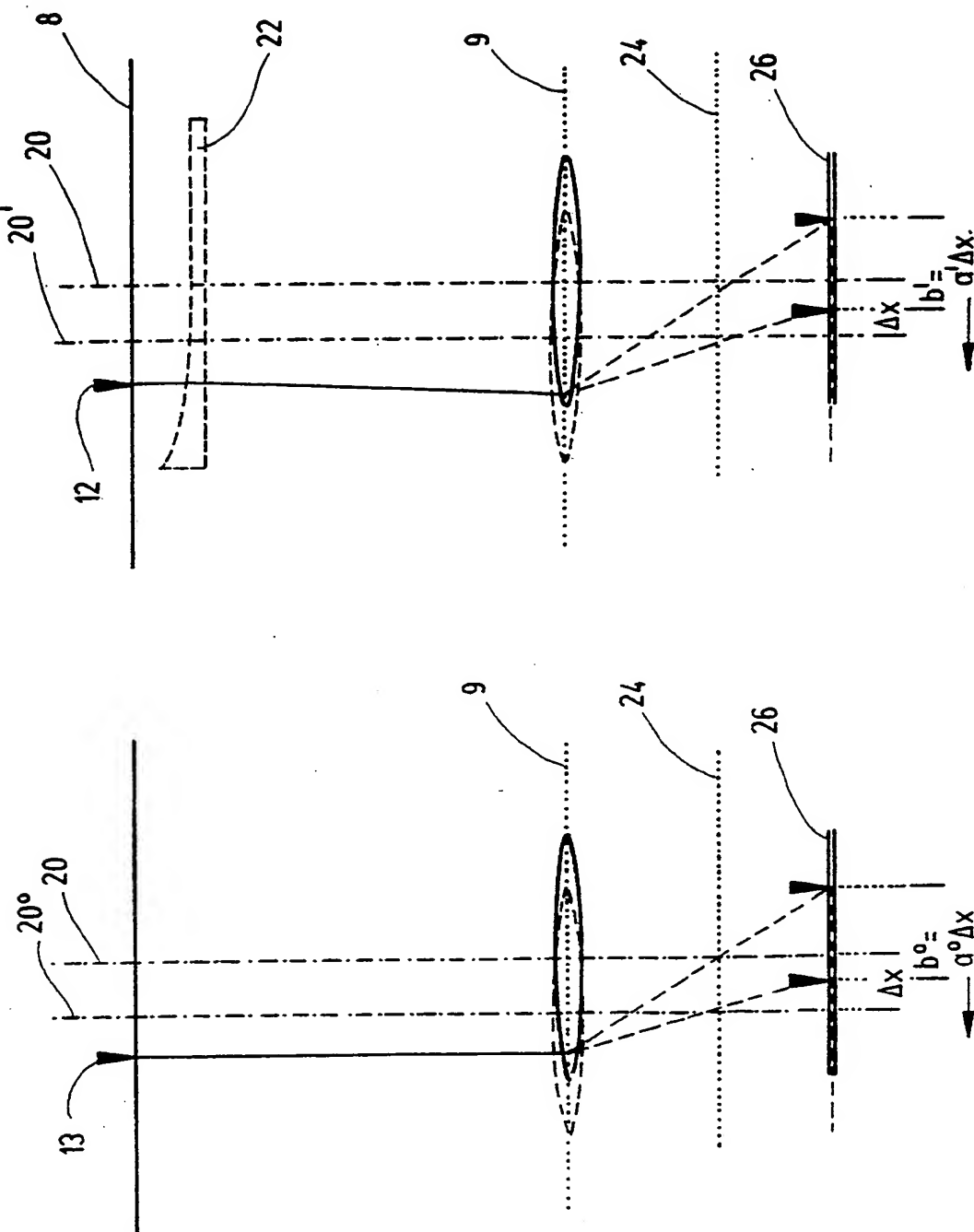
Fig. 3b
Fig. 3a

Fig. 4a

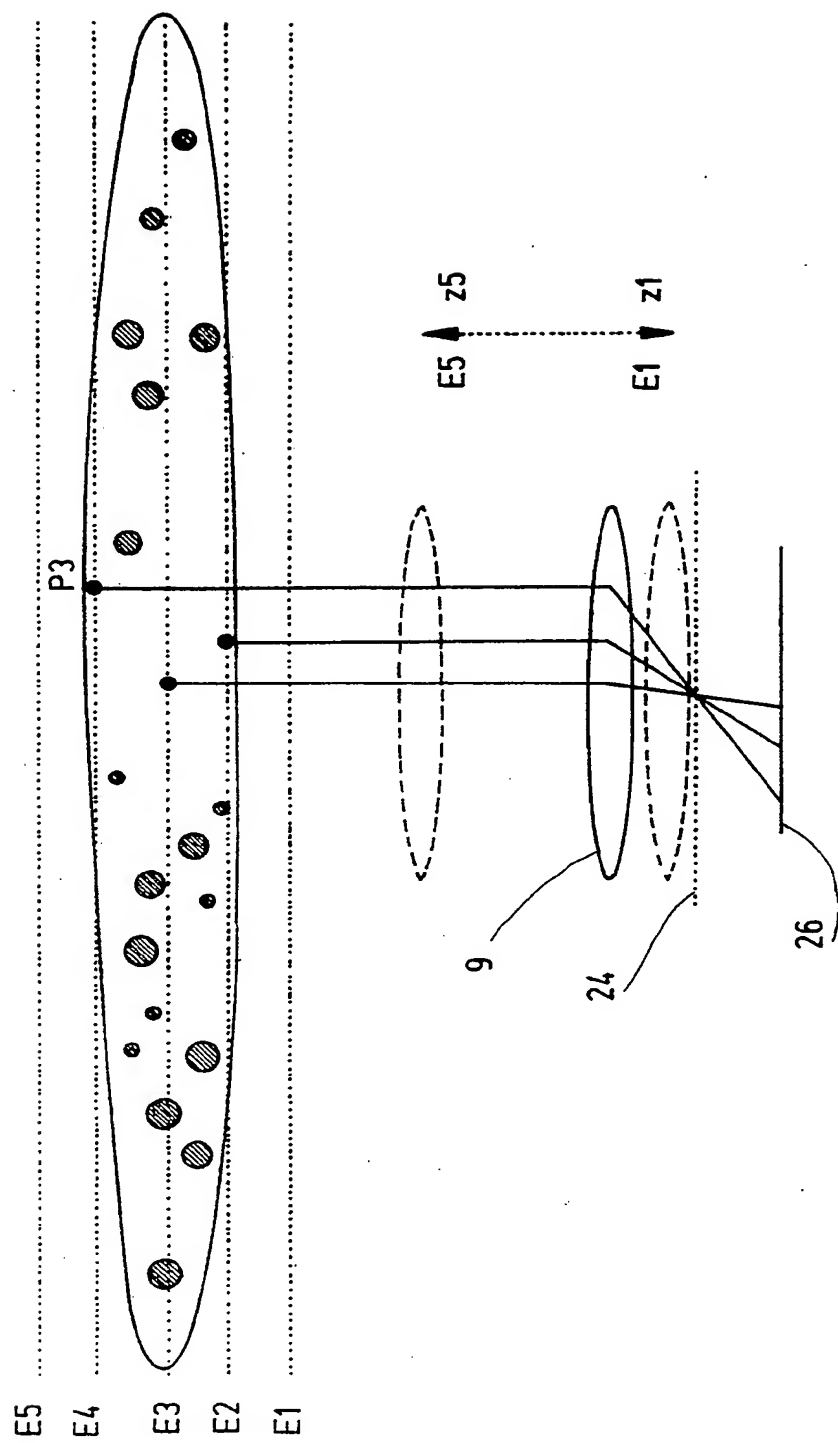


Fig. 4b

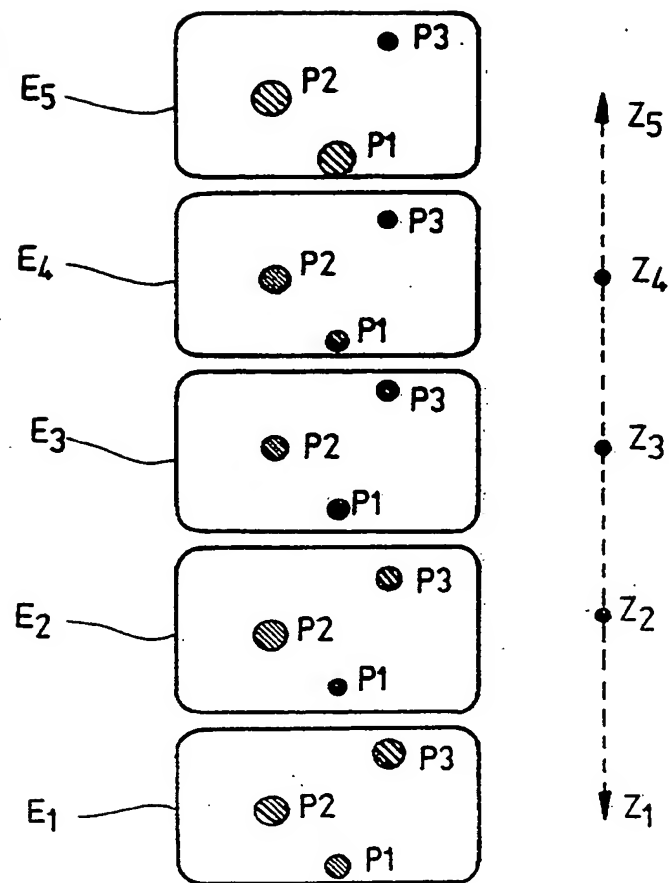


Fig. 4c

